# 津波外力を受ける海岸林樹木の応答解析

鹿児島大学工学部 学生会員 〇坂井良輔 鹿児島大学大学院 学生会員 國生大樹 鹿児島大学大学院 正会員 浅野敏之

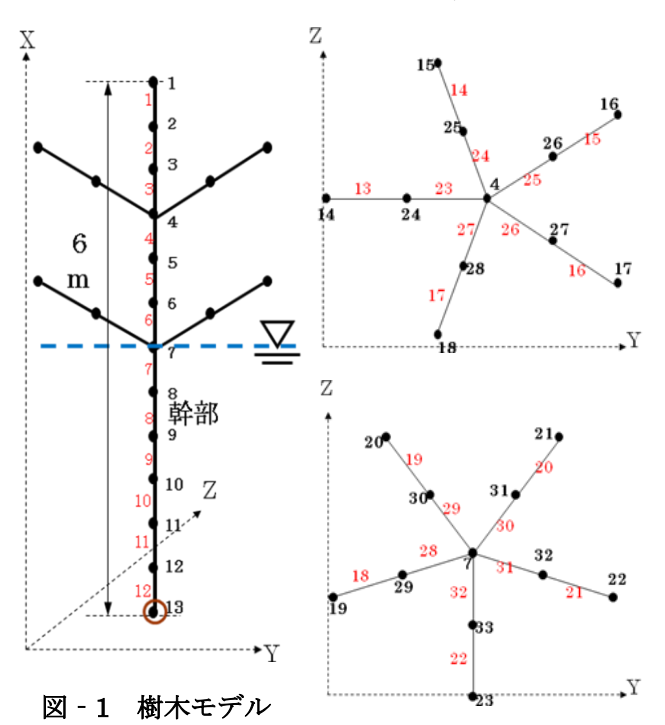
#### 1. 研究の目的

海岸林は従来、防風林・防砂林として用いられて きたが, 近年は津波防潮施設としての効果が注目さ れている。しかし、津波が襲来すると倒木や折損が 生じ, 防災能力が減衰する恐れがあるため, 樹木の 各器官に、津波流体力がどのように作用するか明ら かにする必要がある。本研究では、樹木を多質点系 構造物として扱い、津波流体力を作用させたときの 応答を数値解析により考察した。

## 2. 解析の概要

## 2.1 樹木モデル

日本の海岸林の多くは、防風や防砂・防潮を目的 として育成され, 塩害や汚染に強いクロマツ林であ る。本研究では樹種はクロマツを想定し、典型的な 形状・寸法を持つ樹木モデルとして、図-1に示す樹 高 6.0m の 3 次元モデルを設定した。図中の太字の番 号は節点番号(節点数 33)、細字の番号は要素番号 (要素数 32) を表す。地面位置における節点 13 は 固定とし、節点4、節点7の位置からそれぞれ5本 ずつ枝が出るように設定した。また, 節点 14~23 (枝



の先端)の各節点には葉の重量として上載荷重 0.2kgf ずつを付加させた。本研究では、クロマツの乾燥後 の木材として公表されている値として、比重 0.57、 ヤング率 9.8Gpa を用いた。

## 2.2 入射波の計算

入射波の計算をする際に,以下に示す1次元浅水 方程式を用いた。

連続式 
$$\frac{\partial h}{\partial t} + \frac{\partial M}{\partial x} = 0 \qquad \cdots (1)$$

運動方程式 
$$\frac{\partial M}{\partial t} + \frac{\partial (uM)}{\partial x} = -gh\frac{\partial H}{\partial x} - \frac{gn^2u|u|}{h^{\frac{1}{3}}}$$

 $\cdots$ (2)

h: 水深 M: x 軸方向の流量フラックス

g: 重力加速度 n:マニングの粗度係数

 $H: 水位 (= h + z_h, z_h: 底面高)$ 

解析において,変数を staggered に配置し, leap-frog 法によって計算を進めていく。

## 2.3 波による動的応答の解析

構造物の動的挙動の特性は構造物の固有周期と密 接に関係しているため、構造物の振動モードと固有周 波数を理解することが必要になる。そこで固有値解析 を行う。次に多質点構造物の運動基礎方程式を示す。

$$[M]\{\ddot{u}\}+[C]\{\dot{u}\}+[K]\{u\}=\{F\}$$
 ...(3)

左辺第2項の減衰項を除去すると次式となる。

$$[M]{\ddot{u}} + [K]{u} = 0 \qquad \cdots (4)$$

変位ベクトル{u}の一般解を次のように置く。

$$\{u\} = \{\Phi\}e^{i\omega t} \qquad \cdots (5)$$

(5) 式を(4) 式に代入すると次式が得られる。

$$\left(-\omega^2[M] + [K]\right)\left(\Phi\right) = \{0\} \qquad \cdots (6)$$

(6)式が $\{\Phi\}$  =  $\{0\}$ 以外の解を得る条件は次式となる。

$$\left|-\omega^{2}[M]+[K]\right|=0 \qquad \cdots (7)$$

(7)式を解くことにより、固有値と固有円振動数が得 られる。葉による上載荷重を導入すると, M の要素 が大きくなり,固有振動数は低くなるので,津波外力 の周波数に近づいてくる。

モード合成法で得られる構造物の動的変位は  $\{u(t)\} = [\Phi]\{q\} = \{\phi\}_1 q_1(t) + \{\phi\}_2 q_2(t) + \dots + \{\phi\}_N q_N(t)$ 

$$(u)_{j} - [\Psi]_{l}q_{j} - [\Psi]_{1}q_{1}(t) + [\Psi]_{2}q_{2}(t) + \cdots + [\Psi]_{N}q_{N}(t)$$

$$\cdots (8)$$

(3)式右辺の波力 $\{F\}$ については、浅水波理論を用い て水粒子の速度・加速度を求め、 それらを修正モリソ ン式に代入することにより評価した。

$${F} = [C_M] {\ddot{v}} - [C_m] {\ddot{u}} + [C_D] {\dot{v} - \dot{u} | (\dot{v} - \dot{u})} \cdots (9)$$

(9)式を(3)式に代入して得られた式を線形化すると 次式となる。

$$\left[\widetilde{M}\right]\left\{\widetilde{u}\right\} + \left[\widetilde{C}\right]\left\{\widetilde{u}\right\} + \left[K\right]\left\{u\right\} = \left[\widetilde{F}\right] \qquad \cdots (10)$$

ここで,(8)式を(10)式に代入し,転置行列 $\left[\Phi\right]^T$ を乗 じることで次式が得られる。

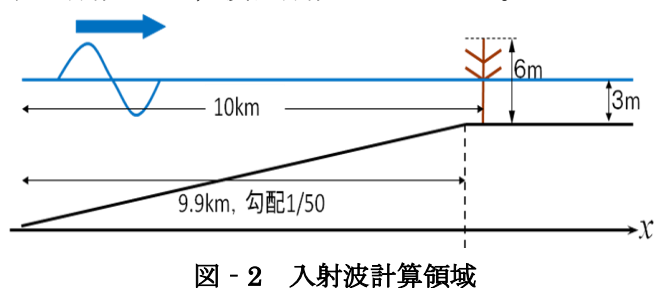
$$[I]\{\ddot{q}\} + [\cdot \cdot (2\beta_i \omega_i + C_D) \cdot \cdot ]\{\dot{q}\} + [\cdot \cdot \cdot \omega_i^2 \cdot \cdot \cdot ]\{q\}$$

$$= \left[\Phi\right]^T \left[C_M\right] \left\{\ddot{v}\right\} + \left[\Phi\right]^T \left|\hat{C}_D\right| \left\{\dot{v}\right\} \quad \cdots (11)$$

上式は、Newmark の $\beta$ 法を用いて逐次積分によって 計算できる。

#### 2.4 解析条件

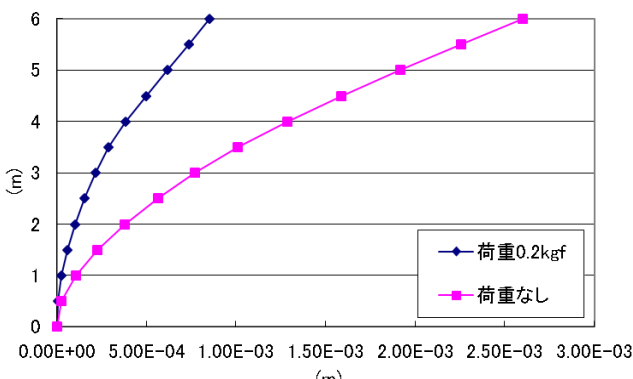
樹木モデルが 3m まで浸水した状態を考え、周期 300s, 波高 1.0m とし,変位・曲げ応力を求めた。 抗力係数は 1.0, 慣性係数は 2.0 とした。



#### 3. 考察

図 - 3 は葉の重量を付加させた場合と付加させな い場合で、幹部における Z 軸方向最大変位、Y 軸ま わりの最大曲げ応力と高さの関係を表している。こ れらを比較すると、いずれも、荷重があるほうが値 が小さくなる。また、曲げ応力が局所的に大きな値 になっているのは、枝の付け根部分であり、枝から の応力を受けているためと考えられる。図 - 4 は,

葉の重量を付加させた場合の幹部におけるY軸方向 変位の時系列変化である。周期の短い振動がみられ, 葉による上載荷重の影響と考えられる。



0.00E+00 5.00E-04 1.00E-03 1.50E-03 2.00E-03 2.50E-03 3.00E-03

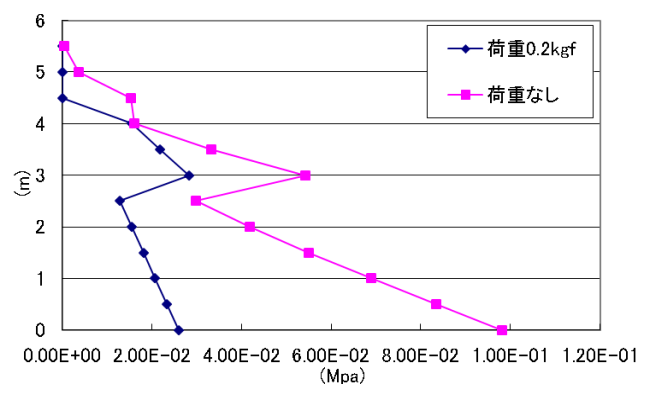


図-3 幹部における Z 軸方向最大変位(上段) Y軸まわりの最大曲げ応力(下段)

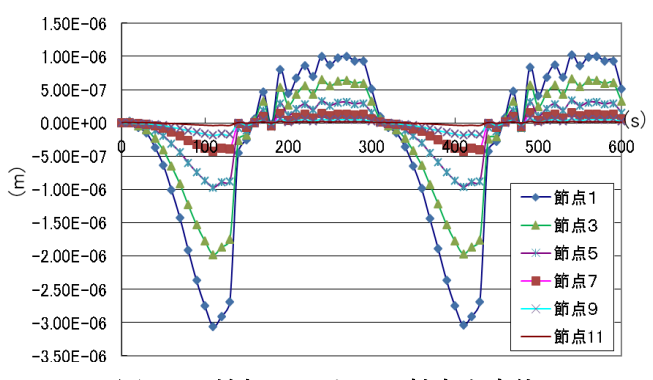


図-4 幹部における Y 軸方向変位

## 4. まとめ

クロマツの乾燥材としての曲げ強度は72.0~

91.1Mpa であり、解析で得られた値と比較すると折 損の可能性は低いと考えられる。ただし、今回は入 射波の波高を 1.0m としているため, さらに大きな波 高の津波を想定することで,折損の可能性が高まる と考えられる。また、今回の樹木モデルは、幹部の2 箇所から枝が5本ずつ出ているという簡素化したも のであり、ヤング率も生木に比べるとかなり乾燥し た状態のときの値であるため、今後はさらに現実的 な樹木モデルを設定して解析していく必要がある。